PK03006_PGC1KG_MBG256

（版本号：Version1.3）

（2019.08.21）

深圳市紫光同创电子有限公司

文档版本修订记录

版本号	发布日期	修订记录
V1.0	2019/03/01	初次发行
V1.1	2019/04/10	修订表 3，删除 IO 信号的后缀_S 或_P
V1.2	2019/07/09	修订表 2，更新管脚说明，删除测试管脚，PGC1300G 变更为 PGC1KG
V1.3	2019/08/21	修订表 2，更新用户 IO 的状态描述

名词术语解释

POD ： Package Outline Drawing

目　　录

图目录

表目录

一、 封装介绍

PGC1KG_MBG256 产品采用 Wire bond 打线球栅阵列封装形式。其封装尺寸为 14x14mm，植球数量为 256，植球间距为 0.8mm，最大封装厚度为 1.41mm。

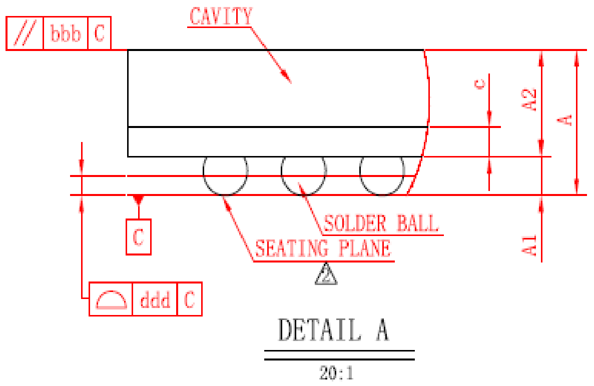
二、 封装尺寸和管脚

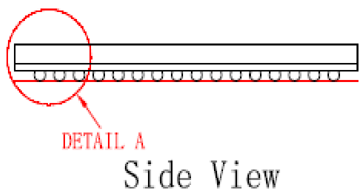
（一） 封装外形尺寸

表 1 外形尺寸数值表

单位为毫米

尺寸符号	数值			尺寸符号	数值		
	最 小	典型值	最 大		最 小	典型值	最 大
D	13.9	14.0	14.1	A	1.21	1.31	1.41
D1	n/a	12.0	n/a	A1	0.30	0.35	0.40
E	13.9	14.0	14.1	A2	0.91	0.96	1.01
E1	n/a	12.0	n/a	c	0.22	0.26	0.3
b	0.40	0.45	0.50	e	n/a	0.8	n/a





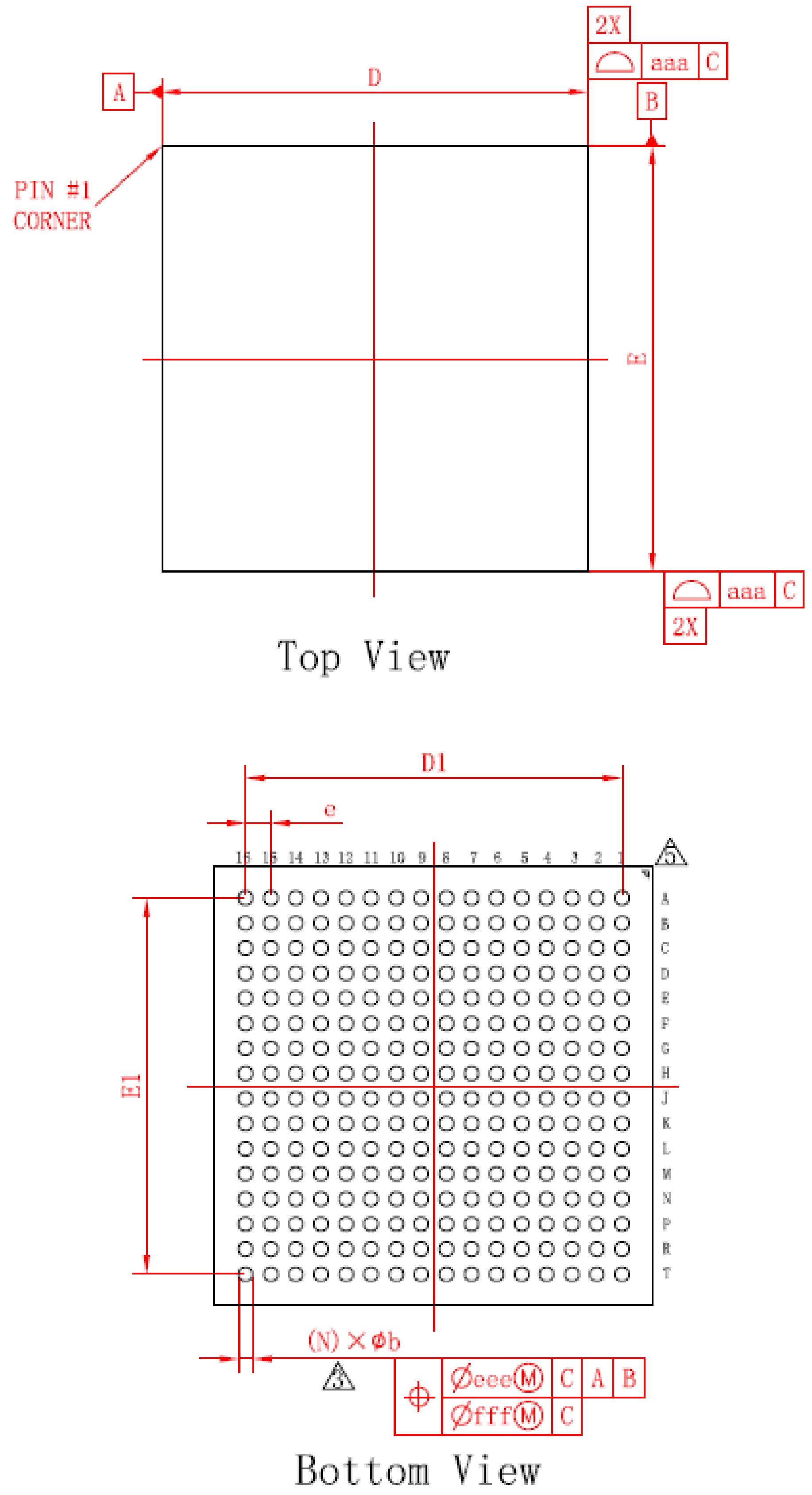

2X
aaa C
A
D
B
PIN #1
CORNER
E
aaa C
2X
Top View
D1
e
16 15 14 13 12 11 10 9 8 7 6 5 4 3 2 1
5
A
B
C
D
E
F
G
H
J
K
L
M
N
P
R
T
E1
(N)×φb
3
∅eee(M) C A B
∅fff(M) C
Bottom View

图 1 外形尺寸图(POD)

（二） 管脚说明

PGC1KG_MBG256 产品的 user IO 数为 207。

表 2 产品管脚定义

管脚名称	管脚类型	方向	管脚说明
用户 I/O 管脚			
DIFF[I,IO]_XX_NN[P,N]	专用管脚	输入/输出	普通用户 I/O。 （1）DIFFI，表示支持差分信号输入和伪差分输出；DIFFIO，表示支持差分信号输入和真差分输出，能够用于 LVDS 类型的信号发送和接收； （2）“XX”，表示 Bank 序号，可取 B0，B1，B2，B3，B4，B5； （3）“NN”，表示 Bank 内可编程 I/O 组的序号，从 0 开始递增； （4）[P,N]:“P”表示差分对的正端，“N”表示差分对的负端； 上电复位期间，普通用户 I/O 为低电平； 完成上电复位但未配置时，普通用户 I/O 状态为下拉； 配置期间，普通用户 I/O 状态为下拉；
配置 [1]			
INIT_FLAG_N	复用管脚	双向（开漏）	配置状态复用管脚，当做配置管脚时： 上电复位期间，为低电平； 完成上电复位但未配置时，为开漏，弱上拉； 在配置过程中，为开漏，弱上拉； 在初始化过程中，该管脚可以由外部输入低电平，用于指示错误或者延迟配置。在配置过程中，该管脚作为配置错误的指示状态输出，为低表示配置过程中出现错误；
CFG_DONE	复用管脚	双向（开漏）	配置状态复用管脚，内置弱上拉电阻，当做配置管脚时，作为配置完成指示状态输出，为高表示配置完成； 在配置之前或者配置过程中该管脚被驱动为低电平；在配置完成后，该管脚可以由外部继续驱动为低电平，一旦内部启动时序发现 CFG_DONE 为低电平，那么内部的启动电路继续保持直到 CFG_DONE 变为高电平才会继续执行启动过程；
RSTN	复用管脚	输入	复用的复位管脚，内置弱上拉电阻，当做复位管脚时，用于重新启动配置流程，低有效；建议用户在使用过程中在芯片外部用电阻上拉 RSTN（内部弱上拉电阻的阻值一般为

管脚名称	管脚类型	方向	管脚说明
			20kOhms 以上，上拉强度较弱）；当该管脚为低电平，FPGA 进入复位状态，所有的 I/O 处于弱下拉；
CFG_CLK	复用管脚	输入/输出	配置复用时钟管脚，内置弱上拉电阻，当做配置管脚时： 在从 SPI 配置模式，该管脚作为时钟输入以从外部获取配置数据； 在主 SPI 配置模式，该管脚作为时钟输出以从外部获取配置数据，在此模式，需外接 1kOhms 上拉电阻； 主 SPI 模式和从 SPI 模式允许同时可用，但是不允许同时用这两种模式访问；
TCK	复用管脚	输入	复用 JTAG 测试时钟时钟输入管脚；需外接 4.7kOhms 的下拉电阻；
TMS	复用管脚	输入	复用 JTAG 测试模式选择输入管脚；内置弱上拉电阻，上拉到 VCCIO0；
TDI	复用管脚	输入	复用 JTAG 测试数据输入管脚；内置弱上拉电阻，上拉到 VCCIO0；
TDO	复用管脚	输出	复用 JTAG 测试数据输出管脚。内置弱上拉电阻，上拉到 VCCIO0；
JTAGEN	复用管脚	输入	可选的 JTAG 端口行为控制管脚，该功能只在用户模式下可用，即在配置模式下，该端口为用户 I/O，默认状态为弱下拉； 在用户模式下， 当 JTAG 管脚配置为配置 I/O 时，该端口为用户 I/O，状态由用户控制； 当 JTAG 管脚作为用户 I/O 时，JTAGEN 变成了专用输入，用来控制 JTAG 管脚是否可用；默认状态为弱下拉； 在 JTAGEN 为专用 I/O 的情况下： （1）当为低电平，JTAG 管脚作为普通用户 I/O 功能； （2）当为高电平，JTAG 管脚作为 JTAG 配置管脚的功能；
FCS_N	复用管脚	输出	复用配置管脚，外部主 SPI 配置模式使用， （1）主 SPI 模式下，低有效输出片选信号给外部 Flash； （2）配置完成后，可以作为用户 I/O 使用；
MISO_SO	复用管脚	输入/输出	复用 SPI 配置管脚； （1）MISO，主 SPI 模式串行数据输入； （2）SO，从 SPI 模式串行数据输出； 主 SPI 模式和从 SPI 模式允许同时可用，

管脚名称	管脚类型	方向	管脚说明
			但是不允许同时用这两种模式访问；
MOSI_SI	复用管脚	输入/输出	复用 SPI 配置管脚； （1）MOSI，主 SPI 模式串行数据输出 （2）SI，从 SPI 模式串行数据输入； 主 SPI 模式和从 SPI 模式允许同时可用，但是不允许同时用这两种模式访问；
FCSI_N	复用管脚	输入	复用 SPI 配置管脚，内置弱上拉电阻； 从 SPI 模式，低有效片选输入；
SCL	复用管脚	输入（开漏）	从 I2C 模式时钟输入；需要外接弱上拉电阻；
SDA	复用管脚	输入/输出（开漏）	I2C 模式数据输入/输出；需要外接弱上拉电阻；
SPAL_CLK	复用管脚	输入	从并 X16 配置方式的时钟输入；
SPAL_CS_N	复用管脚	输入	从并 X16 配置方式的使能输入；
SPAL_RDWR_N	复用管脚	输入	从并 X16 配置方式的读写控制输入； 1：读；0：写；
SPAL_BUSY	复用管脚	输出	从并 X16 配置方式的忙碌指示位； 回读期间，如果数据没准备好，则 SPAL_BUSY 变高；
SPAL_D15~SPAL_D0	复用管脚	输入/输出	从并 X16 配置方式的数据总线；
时钟，PLL			
CLK[0,1,2][P,N]_[B0,B1,…,B5]	复用管脚	输入	专用全局时钟输入管脚；还可以作为普通用户 I/O 使用。每个 Bank 提供 0~3 个管脚； （1）[0，1，2]：时钟管脚序号； （2）[P,N]：时钟管脚互补差分的正端和负端； （3）[B0,B1,…,B5]：Bank 序号；
PLL[0,1]_CLKIN_[P,N]	复用管脚	输入	可选的 PLL 输入，PLL 可以选择从这些管脚直接输入时钟；其还可以作为普通用户 I/O 使用； （1）[0,1]：对应 PLL0 和 PLL1； （2）[P,N]：时钟管脚互补差分的正端和负端；
PLL[0,1]_CLKFB_[P,N]	复用管脚	输入	可选的 PLL 反馈时钟输入，PLL 可以选择从这些管脚来外部反馈时钟；其还可以作为普通用户 I/O 使用； （1）[0,1]：对应 PLL0 和 PLL1； （2）[P,N]：时钟管脚互补差分的正和负端；
电源			
VCC		电源	外部供电电源，支持 2.5V 或 3.3V，给内核逻辑提供电源；

管脚名称	管脚类型	方向	管脚说明
VCCIO[0,1,2,3,4,5]		电源	I/O Bank 电源；
VSS		地	与 VCC 相关的地；

注: 1. 配置的复用管脚当做用户 I/O 时，状态与用户 I/O 管脚相同

1. Pinout Diagram

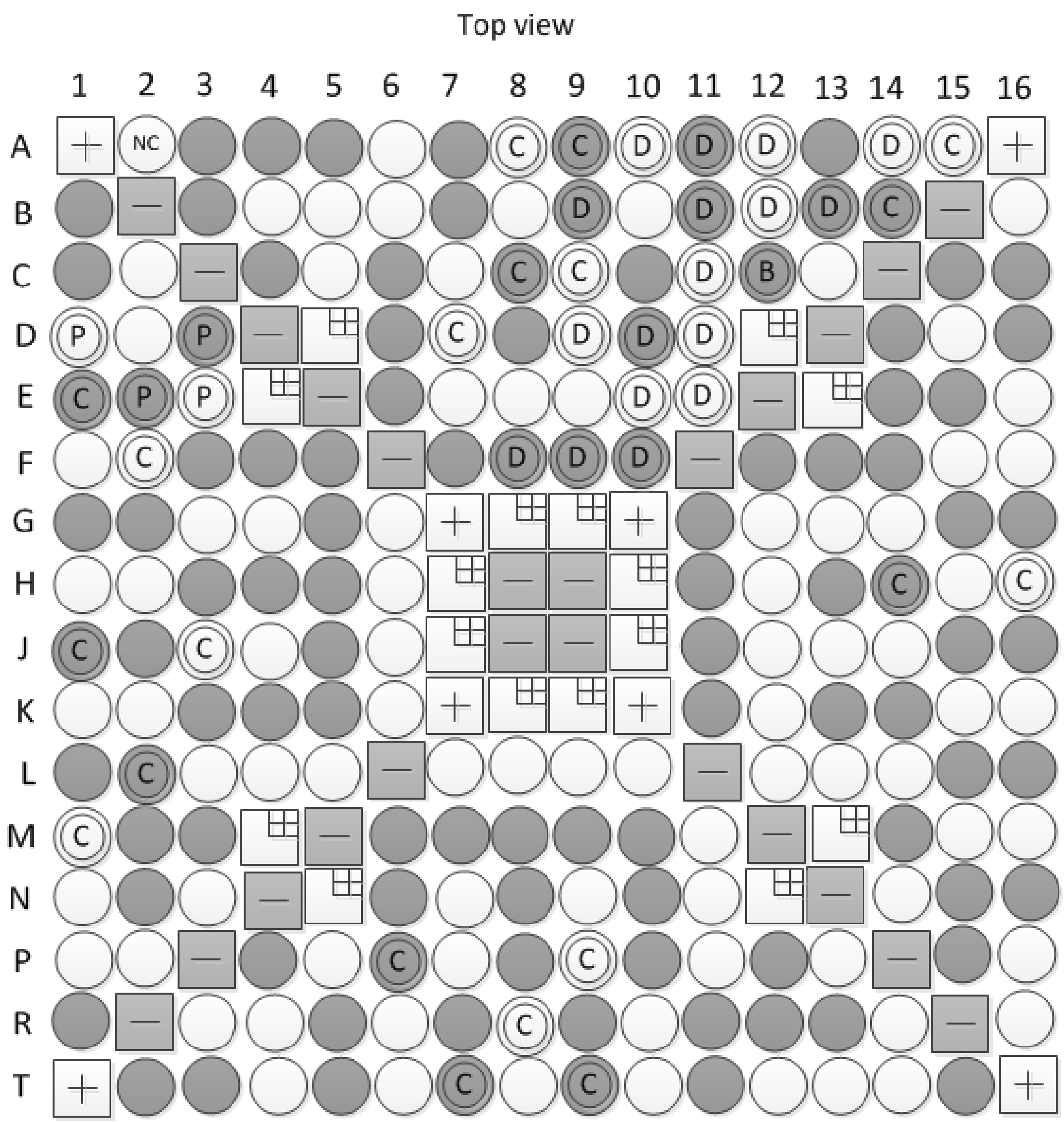
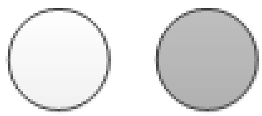
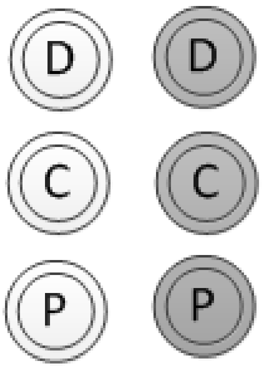
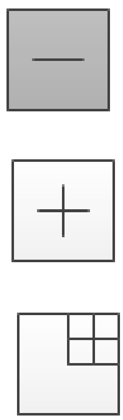


图 2 Pinout Diagram

备注：Pinout 符号代表说明如下：

普通IO	DIFFIO*	COMP(N) TRUE(P) 
复用IO	DIFFIO*/D0~D31 DIFFIO*/CLK* DIFFIO*/PLL*	
电源、地	VSS VCC VCCIO	

2. IO Banks

Top view

	1	2	3	4	5	6	7	8	9	10	11	12	13	14	15	16
A			B0	B0	B0	B0	B0	B0	B0	B0	B0	B0	B0	B0	B0	
B	B5		B0	B0	B0	B0	B0	B0	B0	B0	B0	B0	B0	B0		B1
C	B5	B5		B0	B0	B0	B0	B0	B0	B0	B0	B0	B0		B1	B1
D	B5	B5	B5			B0	B0	B0	B0	B0	B0			B1	B1	B1
E	B5	B5	B5			B0	B0	B0	B0	B0	B0			B1	B1	B1
F	B5	B5	B5	B5	B5		B0	B0	B0	B0		B1	B1	B1	B1	B1
G	B4	B5	B5	B5	B5	B5					B1	B1	B1	B1	B1	B1
H	B4	B4	B4	B4	B4	B5					B1	B1	B1	B1	B1	B1
J	B4	B4	B4	B4	B4	B4					B1	B1	B1	B1	B1	B1
K	B4	B4	B4	B3	B3	B4					B1	B1	B1	B1	B1	B1
L	B3	B3	B3	B3	B3		B2	B2	B2	B2		B1	B1	B1	B1	B1
M	B3	B3	B3			B2	B2	B2	B2	B2	B2			B1	B1	B1
N	B3	B3	B3			B2	B2	B2	B2	B2	B2			B1	B1	B1
P	B3	B3		B2	B2	B2	B2	B2	B2	B2	B2	B2	B2		B1	B1
R	B3		B2	B2	B2	B2	B2	B2	B2	B2	B2	B2	B2	B2		B1
T		B2	B2	B2	B2	B2	B2	B2	B2	B2	B2	B2	B2	B2	B2	

图 3 IO Banks

3. Power and GND Placement

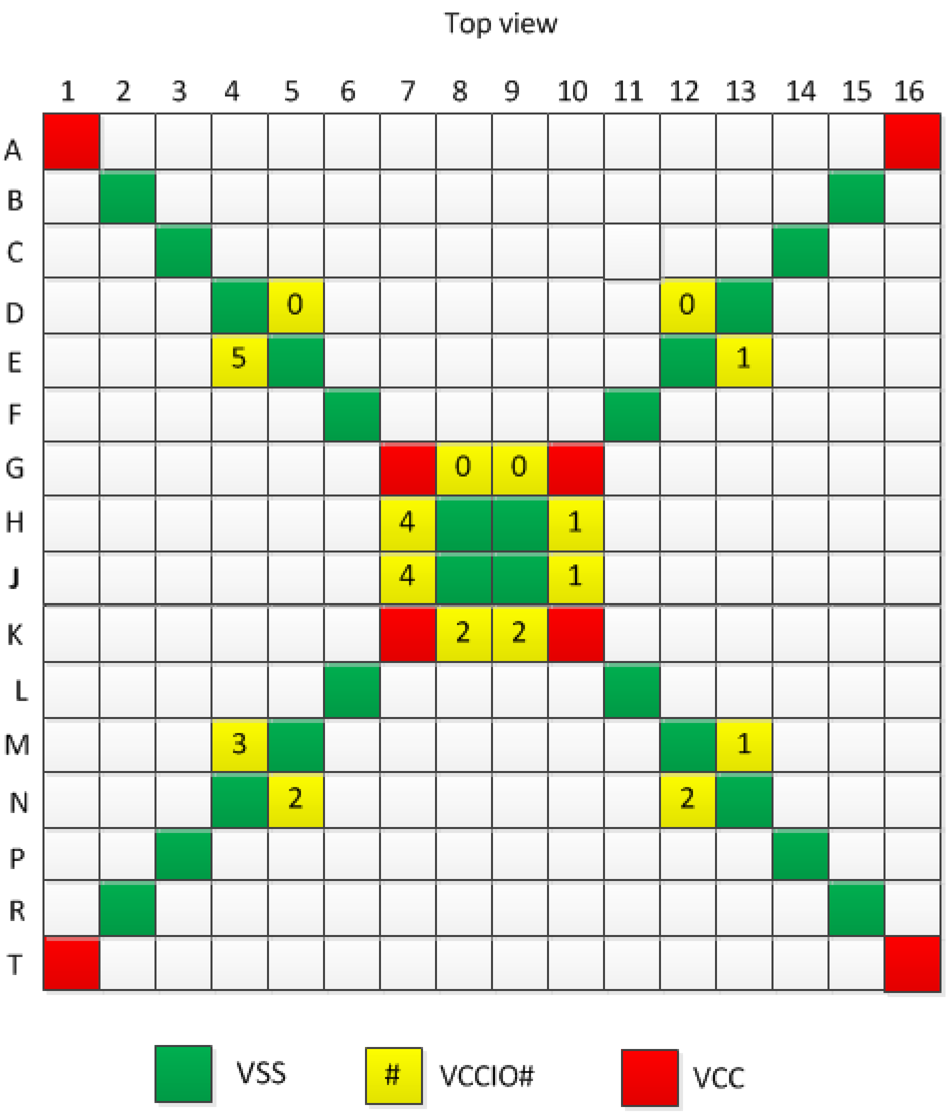


图 4 Power and GND Placement

4. Ball name list

表 3 Ball name list

Bank Name	Ball name(Function name)	Ball Number	差分对	Time Delay(ps)
B0	DIFFI_B0_0N/CFG_DONE	C13	IO_1_N	54.855
B0	DIFFI_B0_0P/INIT_FLAG_N	A13	IO_1_P	52.228
B0	DIFFIO_B0_1N/SPAL_CLK	A15	IO_2_N	73.308
B0	DIFFIO_B0_1P/SPAL_CS_N	B14	IO_2_P	69.778
B0	DIFFIO_B0_3N/SPAL_RDWR_N	B12	IO_4_N	52.578
B0	DIFFIO_B0_3P/SPAL_BUSY	C12	IO_4_P	52.167
B0	DIFFI_B0_4N/SPAL_D15	A14	IO_5_N	73.302
B0	DIFFI_B0_4P/SPAL_D14	B13	IO_5_P	68.399
B0	DIFFIO_B0_5N/SPAL_D13	A12	IO_6_N	58.318
B0	DIFFIO_B0_5P/SPAL_D12	B11	IO_6_P	40.66
B0	DIFFI_B0_6N/SPAL_D11	D11	IO_7_N	55.31
B0	DIFFI_B0_6P/SPAL_D10	F10	IO_7_P	60.434
B0	DIFFIO_B0_7N/SPAL_D9	C11	IO_8_N	52.007
B0	DIFFIO_B0_7P/SPAL_D8	A11	IO_8_P	53.603
B0	DIFFI_B0_8N/RSTN	B10	IO_9_N	61.762
B0	DIFFI_B0_8P/JTAGEN	C10	IO_9_P	62.883
B0	DIFFIO_B0_9N/SPAL_D7	E10	IO_10_N	48.506
B0	DIFFIO_B0_9P/SPAL_D6	D10	IO_10_P	43.977
B0	DIFFI_B0_10N/SPAL_D5	E11	IO_11_N	64.285
B0	DIFFI_B0_10P/SPAL_D4	F9	IO_11_P	62.767
B0	DIFFIO_B0_11N/SPAL_D3	A10	IO_12_N	65.439
B0	DIFFIO_B0_11P/SPAL_D2	B9	IO_12_P	65.478
B0	DIFFI_B0_12N/SDA/CLK0N_B0	C9	IO_13_N	55.131
B0	DIFFI_B0_12P/SCL/CLK0P_B0	A9	IO_13_P	46.041
B0	DIFFIO_B0_13N/SPAL_D1	D9	IO_14_N	29.688
B0	DIFFIO_B0_13P/SPAL_D0	F8	IO_14_P	44.369
B0	DIFFI_B0_14N	E9	IO_15_N	54.371
B0	DIFFI_B0_14P	D8	IO_15_P	38.485
B0	DIFFIO_B0_15N/CLK1N_B0	A8	IO_16_N	44.166

B0	DIFFIO_B0_15P/CLK1P_B0	C8	IO_16_P	53.613
B0	DIFFI_B0_16N/TMS	B8	IO_17_N	54.093
B0	DIFFI_B0_16P/TCK	A7	IO_17_P	43.499
B0	DIFFIO_B0_17N	E8	IO_18_N	41.635
B0	DIFFIO_B0_17P	F7	IO_18_P	44.192
B0	DIFFI_B0_18N	D7	IO_19_N	35.379
B0	DIFFI_B0_18P	E6	IO_19_P	38.617
B0	DIFFIO_B0_19N	C7	IO_20_N	38.801
B0	DIFFIO_B0_19P	B7	IO_20_P	39.309
B0	DIFFI_B0_20N/TDI	A6	IO_21_N	46.97
B0	DIFFI_B0_20P/TDO	C6	IO_21_P	57.72
B0	DIFFIO_B0_21N	E7	IO_22_N	47.837
B0	DIFFIO_B0_21P	D6	IO_22_P	34.889
B0	DIFFI_B0_22N	B4	IO_23_N	70.638
B0	DIFFI_B0_22P	A3	IO_23_P	59.634
B0	DIFFIO_B0_23N	B6	IO_24_N	56.952
B0	DIFFIO_B0_23P	A5	IO_24_P	49.165
B0	DIFFIO_B0_25N	C5	IO_26_N	51.238
B0	DIFFIO_B0_25P	A4	IO_26_P	62.196
B0	DIFFI_B0_26P	B3	IO_27_P	40.517
B0	DIFFIO_B0_27N	B5	IO_28_N	58.861
B0	DIFFIO_B0_27P	C4	IO_28_P	53.984
B1	DIFFI_B1_0P	D14	IO_29_P	65.882
B1	DIFFI_B1_0N	E15	IO_29_N	69.86
B1	DIFFI_B1_1P	C15	IO_30_P	62.746
B1	DIFFI_B1_1N	B16	IO_30_N	55.786
B1	DIFFI_B1_2P	D16	IO_31_P	53.838
B1	DIFFI_B1_2N	E14	IO_31_N	59.463
B1	DIFFI_B1_3P	C16	IO_32_P	74.655
B1	DIFFI_B1_3N	D15	IO_32_N	74.586
B1	DIFFI_B1_4P	E16	IO_33_P	46.038
B1	DIFFI_B1_4N	F15	IO_33_N	55.453
B1	DIFFI_B1_5P	F13	IO_34_P	43.378

B1	DIFFI_B1_5N	G12	IO_34_N	61.586
B1	DIFFI_B1_6P	F14	IO_35_P	54.578
B1	DIFFI_B1_6N	F16	IO_35_N	42.842
B1	DIFFI_B1_7P	F12	IO_36_P	43.895
B1	DIFFI_B1_7N	G13	IO_36_N	37.827
B1	DIFFI_B1_8P	G15	IO_37_P	39.797
B1	DIFFI_B1_8N	G14	IO_37_N	35.458
B1	DIFFI_B1_9P	G11	IO_38_P	49.69
B1	DIFFI_B1_9N	H12	IO_38_N	40.294
B1	DIFFI_B1_10P	G16	IO_39_P	41.182
B1	DIFFI_B1_10N	H15	IO_39_N	49.341
B1	DIFFI_B1_11P	H13	IO_40_P	38.451
B1	DIFFI_B1_11N	J12	IO_40_N	53.217
B1	DIFFI_B1_12P/CLK0P_B1	H14	IO_41_P	40.115
B1	DIFFI_B1_12N/CLK0N_B1	H16	IO_41_N	42.677
B1	DIFFI_B1_13P	J16	IO_42_P	41.553
B1	DIFFI_B1_13N	J14	IO_42_N	41.196
B1	DIFFI_B1_14P	J15	IO_43_P	46.343
B1	DIFFI_B1_14N	K16	IO_43_N	43.771
B1	DIFFI_B1_15P	H11	IO_44_P	50.065
B1	DIFFI_B1_15N	J13	IO_44_N	38.429
B1	DIFFI_B1_16P	K14	IO_45_P	49.528
B1	DIFFI_B1_16N	K15	IO_45_N	48.001
B1	DIFFI_B1_17P	J11	IO_46_P	56.148
B1	DIFFI_B1_17N	L12	IO_46_N	51.691
B1	DIFFI_B1_18P	L16	IO_47_P	51.583
B1	DIFFI_B1_18N	L14	IO_47_N	40.549
B1	DIFFI_B1_19P	K13	IO_48_P	39.894
B1	DIFFI_B1_19N	K12	IO_48_N	50.428
B1	DIFFI_B1_20P	L15	IO_49_P	55.649
B1	DIFFI_B1_20N	M16	IO_49_N	45.916
B1	DIFFI_B1_21P	K11	IO_50_P	56.753
B1	DIFFI_B1_21N	L13	IO_50_N	53.291

B1	DIFFI_B1_22P	M14	IO_51_P	53.326
B1	DIFFI_B1_22N	M15	IO_51_N	56.865
B1	DIFFI_B1_23P	N15	IO_52_P	62.632
B1	DIFFI_B1_23N	P16	IO_52_N	63.127
B1	DIFFI_B1_24P	N16	IO_53_P	50.233
B1	DIFFI_B1_24N	N14	IO_53_N	60.477
B1	DIFFI_B1_25P	P15	IO_54_P	50.049
B1	DIFFI_B1_25N	R16	IO_54_N	60.699
B2	DIFFI_B2_0N	R14	IO_55_N	62.332
B2	DIFFI_B2_0P	T15	IO_55_P	56.226
B2	DIFFI_B2_1N/MOSI_SI	P13	IO_56_N	56.679
B2	DIFFI_B2_1P/FCSI_N	R12	IO_56_P	61.911
B2	DIFFI_B2_3N	T13	IO_58_N	58.402
B2	DIFFI_B2_3P	P12	IO_58_P	46.384
B2	DIFFI_B2_4N	T14	IO_59_N	80.709
B2	DIFFI_B2_4P	R13	IO_59_P	81.28
B2	DIFFI_B2_5N	T12	IO_60_N	60.469
B2	DIFFI_B2_5P	R11	IO_60_P	47.298
B2	DIFFI_B2_6N	N11	IO_61_N	40.833
B2	DIFFI_B2_6P	M10	IO_61_P	40.821
B2	DIFFI_B2_7N	P11	IO_62_N	40.477
B2	DIFFI_B2_7P	T11	IO_62_P	57.59
B2	DIFFI_B2_8N	M11	IO_63_N	53.315
B2	DIFFI_B2_8P	N10	IO_63_P	41.541
B2	DIFFI_B2_9N	R10	IO_64_N	49.425
B2	DIFFI_B2_9P	P10	IO_64_P	36.63
B2	DIFFI_B2_10N	L10	IO_65_N	46.304
B2	DIFFI_B2_10P	M9	IO_65_P	60.85
B2	DIFFI_B2_11N	T10	IO_66_N	43.071
B2	DIFFI_B2_11P	R9	IO_66_P	55.161
B2	DIFFI_B2_12N	N9	IO_67_N	38.937
B2	DIFFI_B2_12P	M8	IO_67_P	52.632
B2	DIFFI_B2_13N/CLK1N_B2	P9	IO_68_N	37.893

B2	DIFFI_B2_13P/CLK1P_B2	T9	IO_68_P	40.391
B2	DIFFI_B2_14N	L9	IO_69_N	53.679
B2	DIFFI_B2_14P	N8	IO_69_P	38.335
B2	DIFFI_B2_15N	T8	IO_70_N	43.966
B2	DIFFI_B2_15P	P8	IO_70_P	42.302
B2	DIFFI_B2_16N	L8	IO_71_N	64.228
B2	DIFFI_B2_16P	M6	IO_71_P	63.163
B2	DIFFI_B2_17N/CLK0N_B2	R8	IO_72_N	41.215
B2	DIFFI_B2_17P/CLK0P_B2	T7	IO_72_P	43.848
B2	DIFFI_B2_18N	N7	IO_73_N	43.263
B2	DIFFI_B2_18P	M7	IO_73_P	44.09
B2	DIFFI_B2_19N	P7	IO_74_N	52.967
B2	DIFFI_B2_19P	R7	IO_74_P	44.606
B2	DIFFI_B2_20N	L7	IO_75_N	57.627
B2	DIFFI_B2_20P	N6	IO_75_P	46.47
B2	DIFFI_B2_21N/MISO_SO	T6	IO_76_N	46.146
B2	DIFFI_B2_21P/CFG_CLK	P6	IO_76_P	58.418
B2	DIFFI_B2_22N	R4	IO_77_N	66.622
B2	DIFFI_B2_22P	T3	IO_77_P	71.756
B2	DIFFI_B2_23N	R6	IO_78_N	58.536
B2	DIFFI_B2_23P	T5	IO_78_P	47.421
B2	DIFFI_B2_25N	P5	IO_80_N	41.218
B2	DIFFI_B2_25P/FCS_N	R5	IO_80_P	51.867
B2	DIFFI_B2_26N	R3	IO_81_N	52.855
B2	DIFFI_B2_26P	T2	IO_81_P	64.139
B2	DIFFI_B2_27N	T4	IO_82_N	51.054
B2	DIFFI_B2_27P	P4	IO_82_P	60.739
B3	DIFFI_B3_0P	L1	IO_83_P	57.073
B3	DIFFI_B3_0N	L3	IO_83_N	52.451
B3	DIFFI_B3_1P	K4	IO_84_P	43.5
B3	DIFFI_B3_1N	L5	IO_84_N	53.753
B3	DIFFI_B3_2P/CLK0P_B3	L2	IO_85_P	54.198
B3	DIFFI_B3_2N/CLK0N_B3	M1	IO_85_N	44.389

B3	DIFFI_B3_3P	K5	IO_86_P	47.131
B3	DIFFI_B3_3N	L4	IO_86_N	53.981
B3	DIFFI_B3_4P	M3	IO_87_P	54.685
B3	DIFFI_B3_4N	N1	IO_87_N	56.216
B3	DIFFI_B3_5P	N2	IO_88_P	45.585
B3	DIFFI_B3_5N	P1	IO_88_N	62.699
B3	DIFFI_B3_6P	M2	IO_89_P	51.594
B3	DIFFI_B3_6N	N3	IO_89_N	41.182
B3	DIFFI_B3_7P	R1	IO_90_P	65.268
B3	DIFFI_B3_7N	P2	IO_90_N	48.377
B4	DIFFI_B4_0P	G1	IO_91_P	44.187
B4	DIFFI_B4_0N	H2	IO_91_N	40.142
B4	DIFFI_B4_1P	H4	IO_92_P	41.648
B4	DIFFI_B4_1N	J6	IO_92_N	54.308
B4	DIFFI_B4_2P	H3	IO_93_P	38.907
B4	DIFFI_B4_2N	H1	IO_93_N	42.549
B4	DIFFI_B4_3P/CLK0P_B4	J1	IO_94_P	43.448
B4	DIFFI_B4_3N/CLK0N_B4	J3	IO_94_N	38.825
B4	DIFFI_B4_4P	J2	IO_95_P	62.324
B4	DIFFI_B4_4N	K1	IO_95_N	64.644
B4	DIFFI_B4_5P	H5	IO_96_P	50.322
B4	DIFFI_B4_5N	J4	IO_96_N	37.06
B4	DIFFI_B4_6P	K3	IO_97_P	47.318
B4	DIFFI_B4_6N	K2	IO_97_N	48.47
B4	DIFFI_B4_7P	J5	IO_98_P	58.194
B4	DIFFI_B4_7N	K6	IO_98_N	60.817
B5	DIFFI_B5_0P/PLL0_CLKFB_P	D3	IO_99_P	56.606
B5	DIFFI_B5_0N/PLL0_CLKFB_N	D1	IO_99_N	49.886
B5	DIFFI_B5_1P	B1	IO_100_P	60.524
B5	DIFFI_B5_1N	C2	IO_100_N	53.609
B5	DIFFI_B5_2P/PLL0_CLKIN_P	E2	IO_101_P	53.227
B5	DIFFI_B5_2N/PLL0_CLKIN_N	E3	IO_101_N	51.777
B5	DIFFI_B5_3P	C1	IO_102_P	62.941

B5	DIFFI_B5_3N	D2	IO_102_N	48.052
B5	DIFFI_B5_4P/CLK0P_B5	E1	IO_103_P	49.082
B5	DIFFI_B5_4N/CLK0N_B5	F2	IO_103_N	45.842
B5	DIFFI_B5_5P	F4	IO_104_P	41.129
B5	DIFFI_B5_5N	G6	IO_104_N	57.113
B5	DIFFI_B5_6P	F3	IO_105_P	41.699
B5	DIFFI_B5_6N	F1	IO_105_N	52.882
B5	DIFFI_B5_7P	G5	IO_106_P	37.879
B5	DIFFI_B5_7N	G4	IO_106_N	37.337
B5	DIFFI_B5_8P	G2	IO_107_P	34.914
B5	DIFFI_B5_8N	G3	IO_107_N	45.83
B5	DIFFI_B5_9P	F5	IO_108_P	59.433
B5	DIFFI_B5_9N	H6	IO_108_N	61.964
	VCC	A1		
	VCC	A16		
	VCC	G7		
	VCC	G10		
	VCC	K7		
	VCC	K10		
	VCC	T1		
	VCC	T16		
	NC	A2		
B0	VCCIO0	D5		
B0	VCCIO0	D12		
B0	VCCIO0	G8		
B0	VCCIO0	G9		
B1	VCCIO1	E13		
B1	VCCIO1	H10		
B1	VCCIO1	J10		
B1	VCCIO1	M13		
B2	VCCIO2	K8		
B2	VCCIO2	K9		
B2	VCCIO2	N5		

B2	VCCIO2	N12		
B3	VCCIO3	M4		
B4	VCCIO4	H7		
B4	VCCIO4	J7		
B2	VCCIO5	E4		
	VSS	B2		
	VSS	B15		
	VSS	C3		
	VSS	C14		
	VSS	D4		
	VSS	D13		
	VSS	E5		
	VSS	E12		
	VSS	F6		
	VSS	F11		
	VSS	H8		
	VSS	H9		
	VSS	J8		
	VSS	J9		
	VSS	L6		
	VSS	L11		
	VSS	M5		
	VSS	M12		
	VSS	N4		
	VSS	N13		
	VSS	P3		
	VSS	P14		
	VSS	R2		
	VSS	R15		